

پایش نرخ مرگ و میر جراحی قلب با استفاده از نمودار کنترل میانگین متحرک موزون نمایی دوگانه‌ی تعديل ریسک شده

کریم آتشگر* (دانشیار)

علیه‌النجی (کارشناس ارشد)

دانشکده هندسی صنایع و مدیریت، دانشگاه صنعتی مالک‌اشتر

بر اساس تحقیقات انجام شده استفاده از روش‌های کنترل فرایند آماری، می‌تواند در ارتباطی کیفیت فرایندهای جراحی نقش مهمی را ایفا کند. از آن جایی که شرایط بیماران، قبل از عمل جراحی، با یکدیگر متفاوت است، استفاده از نمودارهای کنترل تعديل ریسک شده با درنظر گرفتن شرایط و ریسک قبل از عمل جراحی بیماران، از سوی محققان مورد تأکید قرار گرفته است. در استفاده از نمودارهای کنترل در فرایندهای جراحی، میزان حساسیت نمودارها در کشف تغییرات نسبت شناسی مرگ بیماران، از اهمیت بالایی برخوردار است. این تحقیق برای تحسین بار نمودار کنترل میانگین متحرک موزون نمایی دوگانه تعديل ریسک شده (RADEWMA) را برای پایش نرخ مرگ و میر بیماران پیشنهاد می‌کند. تجزیه و تحلیل کنی این تحقیق بر اساس شاخص طول متوسط دنباله (ARL) برای جراحی قلب نشان می‌دهد که نمودار تعديل ریسک شده پیشنهادی، در مقایسه با دیگر نمودارهای تعديل ریسک شده موجود در پژوهش‌ها، از حساسیت بالاتری برخوردار است.

واژگان کلیدی: کنترل فرایند آماری، نمودار کنترل میانگین متحرک موزون نمایی دوگانه‌ی تعديل ریسک شده، متوسط طول دنباله، جراحی قلب.

۱. مقدمه

بهداشت و درمان، مشخصه‌های کیفی متفاوتی وجود دارند که می‌توانند متناسب با راهبردهای یک مرکز درمانی پایش شوند. زمان انتظار بیماران در بخش‌های مختلف کلینیکی، میزان رضایت بیماران، مدت زمان ورود بیماران تا ارائه خدمات اورژانسی، میزان عفونت بخش‌های مراقبت‌های ویژه، خطاهای تجویز دارو، نرخ مرگ و میر، میزان عوارض و پیامدهای نامطلوب پس از خدمات بهداشتی و درمانی، از جمله مهم‌ترین متغیرهایی هستند که نظرت و مطالعه‌ی دقیق آنها منجر به پیشرفت قابل توجهی در کیفیت می‌شود.^[۸]

به کارگیری نمودارهای کنترل آماری برای تحت کنترل درآوردن مشخصه‌های یک عمل جراحی، باید با توجه به شرایط ویژه حاکم بر داده‌ها انجام شود. در حقیقت نتایج حاصل از پایش عوامل (مانند نرخ مرگ و میر بیماران پس از عمل جراحی) علاوه بر عملکرد جراح و کیفیت مراقبت‌های بهداشتی و درمانی بیمارستان، به شرایط عمومی بیمار نظر نمی‌شود، ارائه کردند. همچنین بتی و همکاران^[۹] متغیر مدت زمان ورود بیمار به بیمارستان تا تزریق ترموموتیک برای درمان بیماران مواجه با حمله قلبی را ارزیابی و تجزیه و تحلیل کردند و با کاهش محدوده‌ی زمانی به الگوی پایدار و با ثباتی رسیدند. آتشگر و النجری^[۱۰] در یک بررسی جامع، مزایای متعدد استفاده از SPC را در فرایندهای جراحی و درمان معرفی کردند. در یک جمع‌بندی، در بخش

در سال‌های اخیر روش‌های کنترل فرایند آماری (SPC)^[۱] به طور وسیع در حوزه‌ی بهداشت و درمان مورد توجه قرار گرفته است. کنترل فرایند آماری، به گروه‌های پژوهشکنی و پرستاری واحدهای بهداشت و درمان کمک می‌کند که با استفاده از روش‌های آماری، فرایندهای درمانی یا عواملی را که در فرایندهای درمانی تأثیر گذارند، کنترل کنند. برای نمونه، SPC توانسته است به منظور ارزیابی اثربار تغییرات در فرایند^[۱۱] شناسایی بخش‌هایی از مراقبت‌های بهداشت و درمان که نیاز به بهبود دارند،^[۱۲] پیش‌بینی عملکردهای مراقبتی و درمانی،^[۱۳] کمک به گروه پژوهشکنی در تصمیم‌گیری بهتر^[۱۴] استفاده شود. مورتن و همکاران^[۱۵] با نظرارت بر میزان عفونت‌های بیمارستانی دیدگاه‌هایی را که منجر به بهبود روش‌های استاندارد پاکسازی و تشخیص سریع شیوع بیماری می‌شود، ارائه کردند. همچنین بتی و همکاران^[۱۶] متغیر مدت زمان ورود بیمار به بیمارستان تا تزریق ترموموتیک برای درمان بیماران مواجه با حمله قلبی را ارزیابی و تجزیه و تحلیل کردند و با کاهش محدوده‌ی زمانی به الگوی پایدار و با ثباتی رسیدند. آتشگر و النجری^[۱۰] در یک بررسی جامع، مزایای متعدد استفاده از SPC را در فرایندهای جراحی و درمان معرفی کردند. در یک جمع‌بندی، در بخش

* نویسنده مسئول

تاریخ: دریافت ۱۳۹۸/۳/۱۳۹۸، اصلاحیه ۷/۲۰، ۱۳۹۸/۹/۲۳، پذیرش ۱۳۹۸/۹/۲۳

DOI:10.24200/J65.2019.53181.1980

به منظور تعدیل ریسک داده‌ها و به دست آوردن جامعه‌بی همگن، روش‌های تعدیل ریسک متفاوتی از سوی محققان بر اساس موضوع مورد بررسی، معرفی شده است. برآورد احتمال سقوط بیماران،^[۲۱] پیش‌بینی سطح هموگلوبین گلیکوزبله در بیماران دیابتی^[۲۲] و برآورد احتمال مرگ بیماران از موضوعات مورد توجه محققان بوده است. با توجه به اهمیت نظرت بر مرگ و میر بیماران، روش‌های مختلفی برای پیش‌بینی خطر مرگ بیماران بر اساس عوامل خطرساز مرتبط با بیماری که از لحاظ پژوهشی معنی دار هستند در بخش‌های مختلف بهداشتی و درمانی ارائه شده است. برای برآورد احتمال مرگ و میر پس از جراحی قلب باز مدل نمره‌گذاری پارسونت،^[۲۳] یورواسکور^[۲۴] و برای برآورد احتمال مرگ و میر در بخش مراقبت‌های ویژه روش نمره‌دهی سوفا،^[۲۵] روش‌های نمره‌دهی آپاچی^[۲۶] و روش نمره‌دهی برای نوزادان نارس CRIB^[۲۷] و برای بیماران مبتلا به ترموما روش نمره‌دهی MGAP^[۲۸] از مهم‌ترین روش‌های تعدیل ریسک در برآورد احتمال مرگ هستند. وودال و همکاران^[۲۹] بیان می‌کنند که اغلب مدل‌های لجستیک (که دارای متغیر پاسخ دودویی‌اند)، می‌توانند برای تعدیل ریسک سطوح بیماران استفاده شوند. اگر زن احتمال وقوع یک رخداد نامطلوب خاص، مانند مرگ بیمار نام در بیمارستان زام باشد، مدل رگرسیون لجستیک برای احتمال وقوع مرگ، طی یک مدت مشخص پس از جراحی، به صورت معادله‌ی ۱ تعریف می‌شود.^[۳۰] در این معادله، X_{vij} عامل ریسک زام، برای بیمار نام، در بیمارستان زام است به طوری که $v = 1, 2, 3, \dots, m$, $i = 1, 2, 3, \dots, k$, $j = 1, 2, 3, \dots, n$ است. واضح است که m نشان‌دهنده تعداد ریسک عامل‌های مؤثر و قابل اندازه‌گیری برای درمان بیماران و k بیان‌گر تعداد بیمارستان‌های ارائه کننده خدمات درمانی تحت بررسی است؛ همچنین در معادله‌ی ۱ $H_h = (h - 1) - k$ یک متغیر نشان‌گر است. اگر بیمار نام در بیمارستان زام تحت درمان باشد، این مقدار برابر ۱ می‌شود و در غیر این صورت مقدار صفر را به خود اختصاص می‌دهد. در اینجا k امین بیمارستان به عنوان مرجع است و $\alpha, \beta_v, \delta_h, \gamma_v$ پارامترهای معادله‌ی رگرسیون هستند و ε_{vij} خطای تصادفی مدل است.

$$\text{logit}(\pi_{vij}) = \alpha + \sum_{h=1}^{k-1} \delta_h H_h + \sum_{v=1}^m \beta_v X_{vij} + \varepsilon_{vij} \quad (1)$$

$$\text{logit}(\pi_{vij}) = \ln \left(\frac{\pi_{vij}}{1 - \pi_{vij}} \right) \quad (2)$$

اگر هر کدام از پارامترهای مدل مانند β_v به صورت قابل توجهی از مقدار صفر بیشتر باشند، عامل ریسک زام به صورت قابل ملاحظه‌بی بر $\text{logit}(\pi_{vij})$ و به موجب آن بر زن π_{vij} تأثیرگذار است.^[۳۱]

۲. نمودارهای کنترل تعدیل ریسک شده

امروزه روش‌های تعدیل ریسک و نمودارهای کنترل کیفیت آماری به منظور ارتقا و بهبود روش‌های کنترل کیفیت خدمات بهداشتی و درمانی بخش‌های مختلف بیمارستانی ترکیب شده‌اند و نمودارهای کنترل تعدیل ریسک شده را به وجود آورده‌اند. جدول ۱ (صفحه ۵) مطالعات انجام شده با انواع نمودارهای کنترل تعدیل ریسک شده در بخش‌های مختلف بهداشت و درمان را نشان می‌دهد. نمودار مناسب برای به دست آوردن نتایج معنادار به هنگام استفاده از روش‌های آماری یک اقدام مهم و ضروری محسوب می‌شود. داده‌هایی که تجزیه و تحلیل می‌شوند، مهم‌ترین عامل برای انتخاب نمودارها هستند.^[۳۲]

پژوهشکی مورد توجه قرار می‌گیرند. به عبارت دیگر می‌توان گفت اگر عوامل ریسک بیماران، کنترل شود، اندازه‌گیری پیامدها، معیار مناسبی برای ارزیابی کیفیت درمان و مراقبت‌های بهداشتی در مراکز درمانی است.^[۳۳] با توجه به آن‌که نرخ مرگ و میر بیماران از قوانین درمانی و کیفیت مراقبت‌های پس از جراحی، تأثیر می‌ذیده، نرخ مرگ و میر یکی از شاخص‌های مورد تأکید در تحقیقات بهداشت و درمان، برای پایش کیفیت فرایندهای درمانی محاسب می‌شود. به طوری که برای پایش نرخ مرگ و میر و ارزیابی عملکرد مراکز پیوند کبد و کلیه،^[۱۰] جراحی پس از عرق کرونری،^[۱۱] جراحی‌های شریانی آوریسم آورت،^[۱۲] جراحی مری و معده،^[۱۳] جراحی ترمیم پارگی آوریسم آورت شکمی،^[۱۴] جراحی هیستوکتومی لاباروسکوپیک،^[۱۵] درمان نوین اندوسوکولار،^[۱۶] سیستم فوریت‌های پژوهشکی،^[۱۷] از انواع نمودارهای کلاسیک تعدیل ریسک شده استفاده کرددند.

تاکنون بررسی جامعی مبنی بر مشخص کردن بهترین نمودار کنترل کیفیت برای پاش شاخص نرخ مرگ و میر بیماران طی ۳۰ روز پس از جراحی انجام شده است. این مقاله در صدد است که با دوبار استفاده از آماره‌ی میانگین متحرک موزون نمایی و در نظر گرفتن ریسک قبل از عمل جراحی، آماره‌ی جدیدی را به نام میانگین متحرک موزون نمایی دوگانه‌ی تعدیل ریسک شده برای نخستین بار در پایش فرایندهای جراحی قلب معرفی کند. تجزیه و تحلیل‌های آماری این مقاله نشان می‌دهد که این رویکرد از حساسیت بالاتری نسبت به نمودارهای موجود در پژوهش‌های پیشین برخوردار است. این مقاله به صورت زیر سازماندهی شده است، در بخش دوم، پس از بیان مفهوم تعدیل ریسک و مدل‌های معتبر آن در برآورد احتمال مرگ و میر، به معرفی نمودارهای کنترل کلاسیک تعدیل ریسک شده پرداخته می‌شود، در بخش سوم، نمودار کنترل میانگین متحرک موزون نمایی دوگانه تعدیل ریسک شده پیشنهادی معرفی می‌شود. بخش چهارم این مقاله به ارزیابی عملکرد نمودار پیشنهادی در پایش مرگ و میر جراحی قلب اختصاص دارد. در نهایت، قسمت پایانی این مقاله به نتیجه‌گیری از تحقیق انجام شده می‌پردازد.

۲. مروري بر پیشینه‌ی موضوع

۱.۱. تعدیل ریسک در بخش بهداشت و درمان

در ارزیابی کیفیت فرایندهای درمانی در یک مرکز پژوهشکی عواملی مانند: ۱) پیامدهای فرایند (۲) ویژگی‌های بیماران تحت درمان^[۳۴] کیفیت مراقبت‌های بهداشتی و درمانی و (۴) پیشامدهای تصادفی مؤثر هستند. ایزو ۹۰۰۱،^[۳۵] اظهار کرد که ارزیابی معنی دار پیامدهای مراقبت‌های درمانی و بهداشتی بیماران، مستلزم اندازه‌گیری صحیح و دقیق آنها و ایجاد راهی برای تعدیل ریسک بیماران است. زیرا بیمارانی که در مراکز پژوهشکی تحت درمان قرار می‌گیرند به دلیل داشتن ویژگی‌های متفاوت مانند سن، جنس، سابقه‌ی بیماری دیابت و غیره جامعه‌ی ناهمگونی را تشکیل می‌دهند. از این رو احتمال بروز پیامدهای متفاوت پس از هرگونه مراقبت‌های بهداشتی و درمانی نه تنها به میزان کیفیت عملکرد گروه پژوهشکی، بلکه به ویژگی‌ها یا ریسک‌های پیش از عمل فرد بیمار نیز بستگی دارد.^[۳۶] به این ترتیب، روش‌های تعدیل ریسک، تفاوت بیماران را در وقوع پیامدهای مختلف حذف می‌کنند. به عبارت دیگر، تغییرات خطای پس از اعمال تعدیل ریسک، فقط مربوط به کیفیت مراقبت‌ها و عملکرد گروه درمان است. بنابراین، می‌توان گفت که اگر عوامل ریسک بیماران، کنترل شود، اندازه‌گیری پیامدها، معیار مناسبی برای ارزیابی کیفیت درمان و مراقبت‌های بهداشتی در مراکز درمانی است.^[۳۷]

جدول ۱. مطالعات انجام شده با نمودارهای تعديل ریسک شده در بخش‌های مختلف بهداشت و درمان.

ردیف	منابع	نوع نمودار	نمودار P تغذیل ریسک شده	کنتل میزان سقوط بیماران در خانه‌ی سالم‌مندان	مورد کاوی
۱	عالی‌ی و اولیور [۲۱]	نمودار \bar{X} تغذیل ریسک شده	نمودار CUSUM تعديل ریسک شده بر اساس لگاریتم نسبت درست‌نمایی	پایش و کنتل سطح هموگلبین گلیکوزیله در بیماران دیابتی نوع دوم	از زیابی عملکرد مراکز پیوند کلیه و کبد با در نظر گرفتن شاخص نرخ مرگ و میر
۲	ساسکو‌مار و دوی [۲۲]	نمودار CUSUM تعديل ریسک شده بر اساس لگاریتم نسبت درست‌نمایی	نمودار CUSUM تعديل ریسک شده بر اساس لگاریتم نسبت درست‌نمایی	از زیابی عملکرد جراحی‌های شریانی (آنوریسم آورت) بر اساس نرخ مرگ و میر بیماران	از زیابی عملکرد مراکز پیوند کلیه و کبد با در نظر گرفتن شاخص نرخ مرگ و میر
۳	اسکلاد و همکاران [۱۱ و ۱۰]	نمودار CUSUM تعديل ریسک شده بر اساس لگاریتم نسبت درست‌نمایی	نمودار CUSUM تعديل ریسک شده بر اساس لگاریتم نسبت درست‌نمایی	از زیابی عملکرد جراحی مری و معده	از زیابی عملکرد جراحی های شریانی (آنوریسم آورت)
۴	بیلس و مورتون [۱۴]	نمودار CUSUM تعديل ریسک شده بر اساس لگاریتم نسبت درست‌نمایی	نمودار CUSUM تعديل ریسک شده بر اساس لگاریتم نسبت درست‌نمایی	نظرارت بر عفونت‌های بخش بهداشت و درمان و ارزیابی میزان عفونت‌ها	نظرارت بر عفونت‌های بخش بهداشت و درمان و ارزیابی میزان عفونت‌ها
۵	کالینز و همکارانش [۱۵]	نمودار CUSUM تعديل ریسک شده بر اساس لگاریتم نسبت درست‌نمایی	نمودار CUSUM تعديل ریسک شده بر اساس لگاریتم نسبت درست‌نمایی	پایش پیامدهای نامطلوب جراحی با پس عروق کرونر	پایش پیامدهای نامطلوب جراحی با پس عروق کرونر
۶	مورتون همکارانش [۵]	نمودار CUSUM تعديل ریسک شده به صورت جمع تجمعی مشاهدات - انتظارات	نمودار CUSUM تعديل ریسک شده به صورت جمع تجمعی مشاهدات - انتظارات	نرخ مرگ و میر زود هنگام بیماران بعد از عمل جراحی ترمیم پارگی آنوریسم آورت شکمی	نرخ مرگ و میر زود هنگام بیماران بعد از عمل جراحی ترمیم پارگی آنوریسم آورت شکمی
۷	نویک و همکارانش [۲۱]	نمودار CUSUM تعديل ریسک شده بر اساس لگاریتم نسبت درست‌نمایی	نمودار CUSUM تعديل ریسک شده بر اساس لگاریتم نسبت درست‌نمایی	پایش نرخ مرگ و میر از طریق درمان نوین اندوسوکولار برای بیماران مبتلا به پارگی آنوریسم آورت شکمی	پایش نرخ مرگ و میر از طریق درمان نوین اندوسوکولار برای بیماران مبتلا به پارگی آنوریسم آورت شکمی
۸	هریس و همکارانش [۱۶]	نمودار CUSUM تعديل ریسک شده بر اساس لگاریتم نسبت درست‌نمایی	نمودار CUSUM تعديل ریسک شده بر اساس لگاریتم نسبت درست‌نمایی	پایش نرخ مرگ و میر پس از جراحی قلب باز	پایش نرخ مرگ و میر پس از جراحی قلب باز
۹	مور و همکاران [۱۸]	نمودار CUSUM تعديل ریسک شده بر اساس لگاریتم نسبت درست‌نمایی	نمودار CUSUM تعديل ریسک شده بر اساس لگاریتم نسبت درست‌نمایی	پایش نرخ مرگ و میر پس از جراحی قلب باز	پایش نرخ مرگ و میر پس از جراحی قلب باز
۱۰	استینر و همکاران [۱۲ و ۱۳]	نمودار CUSUM تعديل ریسک شده بر اساس لگاریتم نسبت درست‌نمایی	نمودار CUSUM تعديل ریسک شده بر اساس لگاریتم نسبت درست‌نمایی	پایش نرخ مرگ و میر پس از جراحی قلب باز	پایش نرخ مرگ و میر پس از جراحی قلب باز
۱۱	لی و همکاران [۲۳]	نمودار CUSUM تعديل ریسک شده بر اساس لگاریتم نسبت درست‌نمایی با استفاده از تعديل ریسک ناپارامتریک	نمودار CUSUM تعديل ریسک شده بر اساس لگاریتم نسبت درست‌نمایی با استفاده از تعديل ریسک ناپارامتریک	پایش نرخ مرگ و میر پس از جراحی قلب باز	پایش نرخ مرگ و میر پس از جراحی قلب باز
۱۲	گریک و اسپیکل هالت [۲۴]	نمودار EWMA تعديل ریسک شده بر اساس درست‌نمایی خانواده‌نمایی	نمودار EWMA تعديل ریسک شده بر اساس درست‌نمایی خانواده‌نمایی	پایش نرخ مرگ و میر پس از جراحی قلب باز	پایش نرخ مرگ و میر پس از جراحی قلب باز
۱۳	تگ و گن [۱۲]	نمودار EWMA تعديل ریسک شده بر اساس لگاریتم نسبت درست‌نمایی با در نظر گرفتن چندین پیامد پس از جراحی	نمودار EWMA تعديل ریسک شده بر اساس لگاریتم نسبت درست‌نمایی با در نظر گرفتن چندین پیامد پس از جراحی	پایش نرخ مرگ و میر پس از جراحی قلب باز	پایش نرخ مرگ و میر پس از جراحی قلب باز
۱۴	چن و همکاران [۱۹]	نمودار CUSUM تعديل ریسک شده بر اساس لگاریتم نسبت بزرگ‌نمایی	نمودار CUSUM تعديل ریسک شده به صورت جمع تجمعی مشاهدات - انتظارات	نظرارت بر عملکرد فوریت‌های پزشکی با ارزیابی نرخ مرگ و میر و بیماران مواجه با ایست قلیی خارج از بیمارستان	نظرارت بر عملکرد فوریت‌های پزشکی با ارزیابی نرخ مرگ و میر و بیماران مواجه با ایست قلیی خارج از بیمارستان
۱۵	توبیجسترا و همکاران [۳۵]	نمودار CUSUM تعديل ریسک شده بر اساس لگاریتم نسبت درست‌نمایی	نمودار CUSUM تعديل ریسک شده بر اساس لگاریتم نسبت درست‌نمایی	نظرارت بر عملکرد هیستوتکنومی لاپاروسکوپیک	نظرارت بر عملکرد هیستوتکنومی لاپاروسکوپیک
۱۶	کوک [۳۶]	نمودار P تعديل ریسک شده	نمودار CUSUM تعديل ریسک شده بر اساس لگاریتم درست‌نمایی	پایش نرخ مرگ و میر در بخش مراقبت‌های ویژه	پایش نرخ مرگ و میر در بخش مراقبت‌های ویژه
۱۷	استینر و چونز [۳۷]	نمودار EWMA تعديل ریسک شده	نمودار EWMA تعديل ریسک شده به روز شونده	پایش زمان زنده ماندن بیماران تحت جراحی قلب باز	پایش زمان زنده ماندن بیماران تحت جراحی قلب باز

که $1 < \lambda < 0$ پارامترهای هموارسازی نمودار تعریف می‌شود. امید ریاضی و واریانس آماره‌ی نمودار RAEWMA، به صورت زیر محاسبه می‌شود. (اثبات این بخش را در پوست ۱ مشاهده کنید).

$$E(RAEWMA_j^R) = EWMA_j^{\hat{E}(R)} \quad (10)$$

$$Var(RAEWMA_j^R) = \lambda^j \sum_{k=1}^j [(1-\lambda)^{(j-k)} \hat{Var}(R_k)] \quad (11)$$

اگر k پارامتر حدود کنترل باشد، بنا بر این حدود کنترل برابر است با:

$$\begin{aligned} UCL_j &= \\ &EWMA_j^{\hat{E}(R)} + k\lambda \sqrt{\sum_{k=1}^j [(1-\lambda)^{(j-k)} \hat{Var}(R_k)]} \quad (12) \\ LCL_j &= \\ &EWMA_j^{\hat{E}(R)} - k\lambda \sqrt{\sum_{k=1}^j [(1-\lambda)^{(j-k)} \hat{Var}(R_k)]} \end{aligned}$$

اگر $\lambda = 1$ ، نمودار RAEWMA به صورت نمودار RAP عمل می‌کند. همچنین زمانی که $\hat{\pi}_i$ برای تمام بیماران یکسان باشد، یعنی تمام بیماران دارای احتمال مرگ یکسان باشند، واضح است که نمودار RAEWMA با نمودار EWMA یکی می‌شود.^[۲۶]

ج) نمودار کنترل جمع تجمعی تعديل ریسک شده (RACUSUM)^۷ همان‌طور که نمودار CUSUM، مقدار تجمعی تفاضل با میانگین را در هر آماره پایش می‌کند، نمودار RACUSUM نیز به پایش مقدار تجمعی تفاضل نزخ مرگ و میر هر نمونه با برآورد مدل تعديل ریسک می‌بردazد. در تحقیقات انجام شده، نمودار CUSUM کلاسیک در دو شکل یک طرفه و دوطرفه معرفی شده است.^[۲۷] نمودار CUSUM دوطرفه برای بررسی افزایش در نزخ مرگ و میر از یک آزمون فرض و برای تشخیص کاهش در نزخ مرگ و میر از آزمون فرض دیگری استفاده می‌کند. این دو آماره اغلب هم‌زمان اجرا می‌شود، ولی اگر افزایش یا کاهش در نزخ مرگ و میر، به تهابی مورد نظر باشد، می‌توان تهاب از یک طرف آماره‌ی CUSUM استفاده کرد. آتشگر و النجری^[۲۸] به تفضیل به بررسی انواع نمودارهای جمع تجمعی تعديل ریسک شده و تعديل ریسک نشده برای داده‌های از توزیع‌های مختلف پرداخته‌اند.

آماره‌ی RACUSUM برای کنترل افزایش و کاهش در نزخ مرگ و میر را می‌توان به صورت زیر تعریف کرد:

$$C_i^+ = 0 \quad (13)$$

$$C_i^+ = \max[0, (R_i - \hat{E}(R_i)) - K + C_{i-1}^+] \quad (13)$$

$$C_i^- = 0 \quad (14)$$

$$C_i^- = \min[0, (R_i - \hat{E}(R_i)) - K + C_{i-1}^-] \quad (14)$$

در اینجا، R_i و $\hat{E}(R_i)$ مشابه نمودار RAP تعریف می‌شود و K مقدار مرجعی است که بر اساس موتیگومری^[۲۸]، نصف میزان تغییر با دلایل در پارامتر تعريف می‌شود.

در نمودار RACUSUM حدود کنترل برابر $H_i = h^* \sigma_i$ است که h پارامتر حدود کنترل، $\sigma_i = \sqrt{Var(R_i)}$ است.

آماره‌ی CUSUM بالا و پایین به ترتیب در زمانی $H_i > C_i^+$ و $C_i^- < -H_i$ مبنی بر افزایش و کاهش نزخ مرگ و میر نسبت به نزخ مرگ و میر پیش‌بینی شده علامت می‌دهند.

در قسمت بعدی، با فرض آن‌که نزخ مرگ و میر از توزیع نرمال پیروی می‌کند، نمودارهای کنترل تعديل ریسک مناسب برای پایش نزخ مرگ و میر به تفصیل شرح داده شده است.

۱.۲.۲ نمودار کنترل P تعديل ریسک شده (RAP)^۵

در مسائل پایش نزخ مرگ و میر بیماران، نمودار کنترل RAP به مقایسه‌ی نزخ مرگ و میر مشاهده شده با نزخ مرگ و میر برآورد شده از مدل‌های تعديل ریسک می‌بردazد. در نمودار RAP، مشابه نمودار P نزخ مرگ و میر مشاهده شده برای هر نمونه رسمی شود، اگر Z_{ij} متغیر پیامد مرگ و زنده ماندن بعد از عمل جراحی قلب برای بیمار زام در گروه نام باشد. زنده ماندن بیمار پس از طی ۳۰ روز از جراحی به صورت $Y_{ij} = 1$ و مرگ آن به صورت $Y_{ij} = 0$ تعریف می‌شود، آنگاه برای نمونه‌ی نام نزخ مرگ و میر مشاهده شده برابر است با:

$$R_i = \frac{\sum Y_{ij}}{n_i} \quad (3)$$

اگر خطر (احتمال) مرگ بیمار زام در گروه نام با استفاده از مدل تعديل ریسک به صورت $\hat{\pi}_{ij}$ برآورد شود، داریم:

$$\hat{E}(Y_{ij}) = \hat{\pi}_{ij} \quad (4)$$

$$\hat{Var}(Y_{ij}) = \hat{\pi}_{ij}(1 - \hat{\pi}_{ij}) \quad (5)$$

پس برای نزخ مرگ و میر پیش‌بینی شده، $\hat{E}(R_i)$ در معادله‌ی ۶ و واریانس آن با فرض استقلال بین احتمال مرگ بیماران به صورت معادله‌ی ۷ به دست می‌آید.

$$\hat{E}(R_i) = \frac{\sum_{j=1}^{n_i} \hat{\pi}_{ij}}{n_i} \quad (6)$$

$$\hat{Var}(R_i) = \frac{\sum_{j=1}^{n_i} \hat{\pi}_{ij}(1 - \hat{\pi}_{ij})}{n_i} \quad (7)$$

از آن‌جایی که در این نمودار R_i و $\hat{E}(R_i)$ با هم مقایسه می‌شوند، اگر نزخ مرگ و میر به صورت نرمال باشد، حدود کنترل بر اساس نزخ مرگ و میر پیش‌بینی شده، بر اساس معادلات تعریف می‌شود که در آن k پارامتر حدود کنترل است.^[۲۶]

$$UCL_i = \hat{E}(R_i) + k\hat{Var}(R_i)$$

$$UCL_i = \frac{\sum_{j=1}^{n_i} \hat{\pi}_{ij}}{n_i} + k \sqrt{\frac{\sum_{j=1}^{n_i} \hat{\pi}_{ij}(1 - \hat{\pi}_{ij})}{n_i}} \quad (8)$$

$$LCL_i = \hat{E}(R_i) - k\hat{Var}(R_i)$$

$$LCL_i = \frac{\sum_{j=1}^{n_i} \hat{\pi}_{ij}}{n_i} - k \sqrt{\frac{\sum_{j=1}^{n_i} \hat{\pi}_{ij}(1 - \hat{\pi}_{ij})}{n_i}} \quad (8)$$

ب) نمودار کنترل میانگین متحرک موزون نمایی تعديل ریسک شده (RAEWMA)^۹

اگر R_j نزخ مرگ و میر برای نمونه‌ی زام باشد، آنگاه آماره‌ی $EWMA_j^{R,j}$ به صورت معادله‌ی ۱۳ تعریف می‌شود.

$$RAEWMA_j^R = \lambda R_j + (1 - \lambda) RAEWMA_{j-1}^R \quad (9)$$

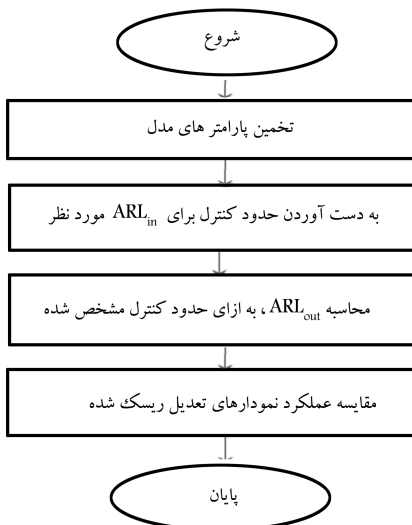
$$= k\lambda^r \sqrt{\sum_{k=1}^j (j-k+1)^r (1-\lambda)^{r(j-k)} \text{var}(R_k)} \quad (18)$$

برای آشنایی بیشتر با نحوه محاسبه‌ی آماره‌ی RADEWMA پیوست ۳ را مشاهده نمایید.

۴. شبیه‌سازی مرگ و میر جراحی قلب
 در این تحقیق، برای بررسی عملکرد نمودارهای کنترل تعديل ریسک شده در پایش نزخ مرگ و میر جراحی قلب، روش شبیه‌سازی از فلوچارت الگوریتم شکل ۱ (صفحه ۸) پیروی می‌کند. در این بخش شبیه‌سازی بر اساس داده‌های استیرن و همکاران^[۱۲] صورت گرفته است. داده‌ها شامل ویژگی‌های بیماران مراجعه‌کننده به مرکز جراحی قلب انگلستان و وضعیت مرگ و میر آنها ۳۰ روز پس از عمل جراحی در بین سال‌های ۱۹۹۲ - ۱۹۹۸ است.
 گام‌های الگوریتم شبیه‌سازی به شرح زیر است:

- تخمین پارامترهای مدل عمل جراحی، داده‌های استیرن و همکاران^[۱۳] که در بین سال‌های ۱۹۹۲ تا ۱۹۹۴ قرار دارد برای تخمین پارامترهای مدل استفاده می‌شود. این فاصله‌ی زمانی توسط استیرن و همکاران^[۱۲]، رسی و همکاران^[۲۱] لی و همکاران^[۲۲] استفاده شده است. از بین بیماران فوق ۱۴۲ نفر در دوره‌ی زمانی ۳۰ روز پس از عمل جراحی، از دنیا رفته‌اند. به عبارت دیگر، نزخ مرگ و میر کلی در سال‌های مورد مطالعه برابر با ۵۶۴٪ تحت فرضیه‌ی صفر است.

نزخ مرگ و میر بیماران می‌تواند بر اساس نمونه‌هایی با اندازه‌ی ثابت همچون ۱۰۰ تابی، ۲۰۰ تابی پایش شود یا می‌توان نمونه‌ها را با فاصله زمانی مشخص (ماهانه) جمع‌آوری و تقسیم بنده کرد. با نمونه‌هایی به اندازه‌ی ثابت ممکن است جمع‌آوری اطلاعات تا ماه‌ها به طول انجامد. در مقابل استفاده از نمونه‌هایی با طول زمانی ثابت، از لحاظ مدیریتی ساده‌تر انجام می‌گیرد، اما تعداد بیماران در هر ماه متفاوت است و این باعث پیچیدگی



شکل ۱. الگوریتم شبیه‌سازی عملکرد مدل پیشنهادی.

۳. روش‌های پیشنهادی: نمودار کنترل میانگین متحرک موزون نمایی دوگانه‌ی تعديل ریسک شده^۸ (RADEWMA)

به منظور افزایش حساسیت نمودار EWMA در تغییرات بسیار کوچک میانگین FRAEWA، نمودار DEWMA برای اولین بار توسط شاما و شاما^[۲۹]، معرفی شد. به کارگیری نمودار DEWMA برای پایش نزخ مرگ و میر سبب می‌شود تا مقاومت شرایط بیماران مورد توجه قرار نگیرد و همان طور که در مقدمه‌ی مقاله بیان شد، به دلیل آن که اعضای جامعه‌ی بیماران از شرایط یکسانی برخوردار نیستند، این نمودار نمی‌تواند به خوبی کیفیت FRAEWA را پایش کند. این تحقیق با اعمال روش‌های تعديل ریسک در نمودار DEWMA و معرفی نمودار جدید با عنوان نمودار کنترل میانگین متحرک موزون نمایی دوگانه‌ی تعديل ریسک شده (RADEWMA)، شرایط واقعی تری را برای پایش کیفیت درمان بیماران بر اساس شاخص نزخ مرگ و میر فراهم می‌کند.

به علاوه آلکاھتنی^[۲۰] در مورد استواری آماره‌ی DEWMA اظهار می‌کند که آماره‌ی DEWMA نسبت به فرض نرمال بودن داده‌ها حساس نیست؛ بنابراین، نمودار RDEWMA را می‌توان برای پایش نزخ مرگ و میر به صورت مشاهدات فردی نیز به کار برد.

اگر R_j نزخ مرگ و میر برای گروه زام باشد، آماره‌ی $RADeWMA_j^R$ ، به صورت زیر تعریف می‌شود:

$$EWMA_j^R = \lambda_1 R_j + (1 - \lambda_1) EWMA_{j-1}^R$$

$$RADeWMA_j^R = \lambda_1 EWMA_j^R + (1 - \lambda_1) RADeWMA_{j-1}^R \quad (15)$$

که $\lambda_1 < \lambda_2 < \lambda$ و $\lambda_1 < \lambda_2 < \lambda$ پارامترهای هموارسازی نمودار تعریف می‌شوند. محمود و وودال^[۲۱] اظهار کردند، عملکرد نمودار DEWMA در زمانی که $\lambda_1 = \lambda_2$ ، بهتر از عملکرد نمودار در زمانی که $\lambda_1 \neq \lambda_2$ نیست. پس به منظور ساده‌تر شدن مسئله فرض می‌شود که $\lambda_1 = \lambda_2 = \lambda$ است. با این فرض، امید ریاضی و واریانس نمودار RADeWMA به صورت زیراست. (این این بخش را در پیوست ۲ مشاهده کنید).

$$E(RADeWMA_j^R) = RADeWMA_j^{E(R_j)} \quad (16)$$

$$Var(RADeWMA_j^R) = \lambda^r \sum_{k=1}^j (j-k+1)^r (1-\lambda)^{r(j-k)} Var(R_k) \quad (17)$$

نمودار کنترل پیشنهادی میانگین متحرک موزون نمایی دوگانه‌ی تعديل ریسک شده، زمانی علامت خارج از کنترل صادر می‌کند که مقدار آماره‌ی RADeWMA خارج از حدود کنترل زیر باشد. حدود کنترل به صورت زیر محاسبه می‌شود که در آن k پارامتر حدود کنترل است.

$$UCL_j = RADeWMA_j^{E(R_j)}$$

$$+ k\lambda^r \sqrt{\sum_{k=1}^j (j-k+1)^r (1-\lambda)^{r(j-k)} Var(R_k)}$$

$$LCL_j = RADeWMA_j^{E(R_j)}$$

از شبیه سازی ذخیره می شود. محاسبه طول دنباله به تعداد تکرار شبیه سازی های موردنظر انجام می شود و سپس متوسط طول دنباله ARL_{in} ، با ازای پارامتر حد کنترل به دست می آید.

- محاسبه‌ی ARL_{out} به ازای حدود کنترل مشخص شده در این گام به‌ازای حد کنترل به دست آمده از گام قبل، ARL_{out} محاسبه‌ی می‌شود و تعداد نکارهای شبیه‌سازی مشابه گام قبل است. همچنین مشابه گام دوم، نمرات پارسونت به صورت تصادفی تولید می‌شود و احتمال مرگ هر بیمار در زمانی که فرایند تحت کنترل است، با رابطه‌ی ۱۹ برآورد می‌شود.

استیفر و همکاران^[۱۲]، برای نشان دادن تغییر در احتمال مرگ و میر از نسبت شانس استفاده کردند. نسبت شانس به صورت شانس مرگ در زمانی که فرازیند خارج از کشتیرن قرار دارد به شانس مرگ با توجه به نتایج به دست آمده از مدل تعديل ریسیک تعریف می‌شود. در زمانی که فرازیند خارج از کشتیرن قرار گیرد احتمال مرگ به π^A تغییر می‌یابد. معادله‌ای ۲۰ نسبت شانس را نشان می‌دهد.

$$OR = \frac{\pi_{ij}^A / \lambda - \pi_{ij}^A}{\hat{\pi}_{ij} / \lambda - \hat{\pi}_{ij}} \quad (\text{Ans})$$

$$\pi_{ij}^A = \frac{OR * \hat{\pi}_{ij}}{1 - \hat{\pi}_{ij} + OR * \hat{\pi}_{ij}} \quad (41)$$

با استفاده از رابطه‌ی ۲۱، احتمال مرگ تغییر یافته باشد که دیگر احتمال مرگ خارج از کترل برای بیمار به ازای مقادیر مختلف نسبت شانس به دست می‌آید و پس از آن، پیامد دودویی توزیع بزرگی به صورت تصادفی با احتمال پیروزی بر اساس احتمال مرگ خارج از کترل تولید می‌شود.

آمارهای نمودار کشتل مورد نظر اعمال می‌شود.

امید ریاضی نزخ مرگ و میر و واریانس آن در صورت نیاز برای محاسبه‌ی حد کنترل آماره‌ی مورد نظر با استفاده از احتمال مرگ تحت کنترل به دست می‌آید.

پس از این مرحله، طول دنباله مشابه گام دوم و سپس متوسط طول دنباله خارج از کنترل ARL_{out} به ازای پارامتر حد کنترل و ARL_{in} در نظر گرفته شده به دست می‌آید.

- مقایسه‌ی عملکرد نمودارهای تعدیل ریسک شده در این مرحله با در نظر گرفتن ARL_{in} ثابت برای هر نمودار تعدیل ریسک شده، برای هر نمودار در مقادیر مختلف نسبت شانس با دیگر نمودارهای تعدیل ریسک شده مقایسه می‌شود.

مسئله می شود. در این مطالعه تقریباً هر ۱۰۰ بیمار در حدود ۴ هفته تحت جراحی قلب قرار گرفته اند. به همین سبب از نمونه هایی با اندازه های ۱۰۰ برای تجزیه و تحلیل استفاده شده است. با توجه به نزد مرگ و میر کلی ۰،۰۶۴، برای گروه های بیماران با اندازه های $n = 100$ و با توجه به این که $5 > np > 5$ است، می توان از تقریب نرمال توزیع دو جمله ای استفاده کرد. همچنین در آزمون کولوموگراف - اسمیرنوف حاصل معناداری آزمون برای دسته بندی های ۱۰۰ تابی، ۰،۹۱ است که نرمال بودن این توزیع را مشخص می کند. (کزارش نرم افزار را در پیوست ۴ مشاهده کنید).

در این مقاله به منظور مقایسه‌ی عملکرد نمودارها و به دلیل آنکه نمودارهای RACUSUM و RAP نسبت به فرض نرمال بودن داده‌ها حساس هستند، نمونه‌هایی با اندازه‌ی ۱۰۰ انتخاب شده است.

برای شبیه‌سازی داده‌ها، برآورد پارامترهای رگرسیون لجستیک برای پیش‌بینی احتمال مرگ هر بیمار با تک متغیر توضیحی نمره پارسونت با استفاده از نرم افزار SPSS رایطه‌ی (۲۲) به دست می‌آید: (گزارش نرم افزار را به طور کامل در پیوست ۴ مشاهده نمایید).

$$\log it(\pi_t) = \circ/\circ \nabla \nabla * X_t - \nabla \nabla \nabla \quad (19)$$

به طوری که X_t نمره پارسونت برای بیمار t ام و π_t احتمال مرگ بیمار t ام بر اساس نمره‌گذاری پارسونت در زمانی است که فرایند تحت کنترل باشد.

- به دست آوردن حدود کنترل برای ARL_{in} مورد نظر در این تحقیق با استفاده از نرم افزار MATLAB به مظاہر به دست آوردن مقادیر متداول 50^0 , 37^0 , 20^0 برای نمودارهای تعديل ریسک شده، ۱۰۰۰۰ بار تکرار شیوه سازیدادهها انجام گرفته است.

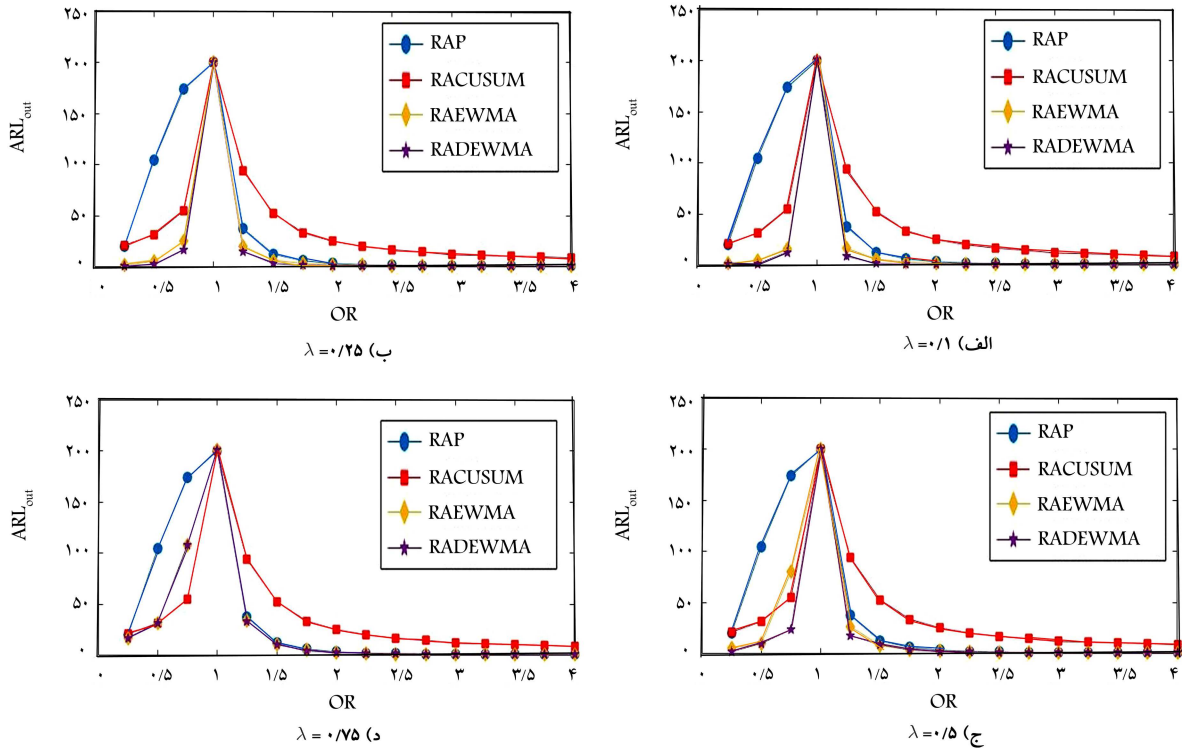
با در نظر گرفتن مقادیر متفاوت برای پارامتر k در حدود کنترل نمودارهای RAEWMA و RAP و پارامتر h در حدود کنترل نمودار RACUSUM، در زمانی که داده‌ها تحت کنترل هستند، ARL_{in} و در زمانی که داده‌ها خارج از کنترل قرار دارند ARL_{out} به دست می‌آید.

برای تولید عدد تصادفی تحت کنترل، با به کارگیری روش نمونه‌گیری با جای گذاری نمرات پارسونت تصادفی از میان نمرات پارسونت بیماران سال‌های ۱۹۹۲-۱۹۹۸ تولید شده است. پس از آن، برآورد احتمال مرگ هر یک از نمرات بیماران با استفاده از رگرسیون لجستیک در رابطه‌ی ۱۹ به دست می‌آید و سپس عدد تصادفی برنولی با احتمال مرگ برآورد شده تولید می‌شود. برای به دست آوردن آماره‌ی نمودارهای کنترل تعديل ریسک شده، با توجه به اندازه‌ی مورد نظر برای هر گروه بیماران، تولید اعداد تصادفی تکرار می‌شود و پس از آن نخ مرگ و میر، امید ریاضی نخ مرگ و میر و واریانس آن در صورت نیاز برای محاسبه‌ی آماره و حد کنترل مورد نظر به دست مم آید.

در این تحقیق نزخ مرگ و میر داده‌ها در گروه‌های بیماران با اندازه‌ی ۱۰۰، متتشکل از مجموع موفقیت (مرگ بیمار) آزمایش‌ها در ۱۰۰ بار توزیع برونی با احتمال مرگ را در برآورد شده از رگرسیون لجستیک است.

۷. ارزیابی عملکرد نمودارهای کنترل تغذیل ریسک شده

را، این بخش عملکرد نمودار پیشنهادی RADEWMA با نمودارهای کنترل RACUSUM، RAEWMA و RAP برای پایش نزخ مرگ و میر در فرایند های جراحی ملب مقایسه شده است. در نمودار P تعديل ریسک شده، علاوه بر روش توضیح داده در گام دوم در بخش چهارم، برای به دست آوردن حد کنترل به منظور



شکل ۲. مقایسه‌ی عملکرد نمودارهای تعديل ریسک شده در تشخیص تغییرات نسبت شانس، بر اساس شاخص متوسط طول دنباله خارج از کنترل و با در نظر گرفتن متوسط طول دنباله تحت کنترل ۲۰۰، برای مقادیر مختلف.

با در نظر گرفتن خطای تحت کنترل $2\sqrt{\lambda}$ ، برای نمودار RAP به ترتیب به صورت $2\sqrt{0.25}, 2\sqrt{0.1}, 2\sqrt{0.75}, 2\sqrt{0.15}$ است. $k = 2\sqrt{0.25} \approx 0.5$ ، $k = 2\sqrt{0.1} \approx 0.32$ ، $k = 2\sqrt{0.75} \approx 0.87$ و $k = 2\sqrt{0.15} \approx 0.39$.

برای دیگر نمودارها با استفاده از الگوریتم بخش چهارم، جداول ۲، ۳ و ۴ با در نظر گرفتن به ترتیب $ARL_{in} = 200, 370, 500$ و $ARL_{out} = 200, 370, 500$ برای مقادیر مختلف نسبت شانس از $0.25, 0.5, 0.75, 1.0$ نشان داده شده است. \square RAP برای وضوح بیشتر نتایج شبیه‌سازی شکل ۲ عملکرد نمودارهای RADEWMA \square RAEWMA \square RACUSUM برای مقادیر مختلف $ARL_{in} = 200, 0.25, 0.5, 0.75, 1.0$ برای $\lambda = 0.1, 0.2, 0.3, 0.4$ نشان دهد.

در شکل ۲ قسمت الف، ب، برای دونمودار RAEWMA \square RADEWMA در قسمت ب، برای دو نمودار RAEWMA \square RADEWMA برای این مقادیر $\lambda = 0.1, 0.2, 0.3, 0.4$ قرار داده شده است. برای این مقادیر λ ، نمودار پیشنهادی RADEWMA برای تغییرات شانس از $0.25, 0.5, 0.75, 1.0$ عملکرد نمودار RAEWMA \square RADEWMA را در تغییرات نسبت شانس $ARL_{in} = 200, 0.25, 0.5, 0.75, 1.0$ برای $\lambda = 0.1, 0.2, 0.3, 0.4$ نشان دهد.

در قسمت ج شکل ۲، برای $OR \leq 1/25$ نمودار RAEWMA عملکرد بهتری نسبت به سایر نمودارها دارد و برای $OR \geq 1/5$ سه نمودار RAEWMA، RAP و RADEWMA عملکرد تقریباً مشابه دارند.

در قسمت د شکل ۲، برای $OR \geq 1/5$ ، برای $\lambda = 0.1, 0.2, 0.3, 0.4$ نمودار RAEWMA، RADEWMA عملکرد تقریباً یکسانی دارند.

در قسمت د شکل ۲، برای $OR \geq 1/5$ ، برای $\lambda = 0.1, 0.2, 0.3, 0.4$ در همه مقادیر نسبت شانس عملکرد نمودار RAEWMA و RADEWMA تقریباً یکسان است و این دونمودار

دست‌یابی به ARL_{in} مد نظر روش دیگری با به کارگیری فرمول فلورا،^[۲۳] وجود دارد. در این روش احتمال آن‌که نزخ مرگ و میرگرهی از بیماران، خارج از حد کنترل قرار گیرد، توان مشاهده‌ی نام تعریف می‌شود و به صورت زیر است:

$$Power_i = \Phi \left\{ \frac{-k \sqrt{\sum_{j=1}^{n_i} \hat{\pi}_{ij}(1 - \hat{\pi}_{ij}) + \sum_{j=1}^{n_i} (\hat{\pi}_{ij} - \pi_{ij}^A)}}{\sqrt{\sum_{j=1}^{n_i} \pi_{ij}^A(1 - \pi_{ij}^A)}} \right\} + \left[1 - \Phi \left\{ \frac{k \sqrt{\sum_{j=1}^{n_i} \hat{\pi}_{ij}(1 - \hat{\pi}_{ij}) + \sum_{j=1}^{n_i} (\hat{\pi}_{ij} - \pi_{ij}^A)}}{\sqrt{\sum_{j=1}^{n_i} \pi_{ij}^A(1 - \pi_{ij}^A)}} \right\} \right] \quad (22)$$

در رابطه‌ی (۲۲)، Φ تابع توزیع تجمعی نرمال استاندارد است. برای به دست آوردن ARL_{in} در نمودار RAP، فرمول (۲۲) برای زمانی که $OR = 1$ محاسبه می‌شود؛ به عبارت ARL_{in} به زمانی اختصاص دارد که احتمال مرگ هر بیمار پس از عمل جراحی مطابق احتمال برآورد شده با توجه به مدل تعديل ریسک و $\pi_{ij}^A = \pi_{ij}$ است. در این حالت رابطه‌ی (۲۲) برابر می‌شود با:

$$power = \Phi(-k) + 1 - \Phi(k) \quad (23)$$

همچنین کوک^[۲۴] بیان می‌کند که:

$$power = 1 - OC \quad (24)$$

با توجه به مفهوم مشخصه‌ی عملکرد نمودار و متوسط طول دنباله داریم:

$$ARL_{in} = \frac{1}{1 - OC} = \frac{1}{1 - power} \quad (25)$$

جدول ۲. مقایسه‌ی متوسط طول دنباله خارج از کنترل نمودارهای تعديل ریسک شده برای مقادیر مختلف نسبت شانس با $ARL_{in} = 200$

$ARL_{in} = 200$										
RAP	RACUSUM	RAEWMA				RADEWMA				
		$\lambda = .1$	$\lambda = .25$	$\lambda = .5$	$\lambda = .75$	$\lambda = .1$	$\lambda = .25$	$\lambda = .5$	$\lambda = .75$	
		$k=2, \lambda=0.75$	$h=1, \lambda=0.25$	$k=2, \lambda=0.25$	$k=2, \lambda=0.25$	$k=6$	$k=4, \lambda=0.25$	$k=4, \lambda=0.25$	$k=3, \lambda=0.25$	
OR										
.175	20,297	21,234	1,876	2,265	5,934	16,887	1,119	1,145	2,239	17,286
.25	10,4523	31,683	4,787	5,737	10,095	33,531	1,393	2,688	10,245	32,567
.50	173,877	55,312	16,309	25,213	8,0,422	10,7,877	12,99	16,88	23,789	10,8,354
1	199,94	199,98	200,073	200,0358	200,073	200,095	200,724	199,688	199,721	200,906
1,25	37,567	93,883	16,63	20,45	26,765	34,154	8,875	10,365	17,758	33,781
1,5	12,873	52,765	6,146	6,89	8,722	10,611	1,932	3,655	9,211	10,987
1,75	6,373	23,742	3,22	3,73	4,005	5,247	1,254	1,957	3,916	4,777
2	3,61	25,222	2,223	2,48	2,839	3,087	1,133	1,471	2,36	2,764
2,25	2,446	20,312	1,723	1,937	2,018	2,228	1,072	1,234	1,869	2,431
2,5	1,911	17,37	1,502	1,586	1,706	1,721	1,047	1,099	1,406	1,895
2,75	1,047	14,861	1,34	1,387	1,492	1,501	1,013	1,073	1,252	1,579
3	1,367	12,177	1,212	1,266	1,314	1,321	1,011	1,042	1,146	1,329
3,25	1,213	11,482	1,149	1,162	1,229	1,207	1,008	1,018	1,09	1,225
3,5	1,161	10,83	1,081	1,109	1,131	1,147	1,005	1,01	1,046	1,145
3,75	1,098	10,053	1,055	1,082	1,08	1,087	1,002	1,005	1,033	1,091
4	1,045	9,007	1,011	1,034	1,056	1,053	1,00	1,002	1,017	1,068

جدول ۳. مقایسه‌ی متوسط طول دنباله خارج از کنترل نمودارهای تعديل ریسک شده برای مقادیر مختلف نسبت شانس با $ARL_{in} = 370$

$ARL_{in} = 370$										
RAP	RACUSUM	RAEWMA				RADEWMA				
		$\lambda = .1$	$\lambda = .25$	$\lambda = .5$	$\lambda = .75$	$\lambda = .1$	$\lambda = .25$	$\lambda = .5$	$\lambda = .75$	
		$k=2, \lambda=0.998$	$h=1, \lambda=0.95$	$k=2, \lambda=0.75$	$k=2, \lambda=0.25$	$k=3, \lambda=0.75$	$k=6, \lambda=0.75$	$k=4, \lambda=0.25$	$k=4, \lambda=0.25$	
OR										
.125	40,257	33,05	2,655	2,905	5,934	16,887	1,044	1,175	3,239	15,086
.25	124,023	47,02	5,594	7,737	22,95	44,231	1,793	3,688	16,74	41,877
.50	20,3,877	68,312	20,695	43,213	10,2,422	137,877	15,99	21,88	40,789	137,684
1	371,0,32	370,0,06	369,7	370,73	369,987	369,862	370,324	370,0,9	370,154	370,0,2
1,25	55,567	188,65	20,713	22,45	26,765	54,154	12,875	19,365	32,758	53,781
1,5	20,2,873	97,93	6,793	7,988	10,022	15,247	2,054	5,065	9,111	15,987
1,75	8,373	52,27	3,789	4,232	5,005	6,087	1,454	2,357	4,916	5,777
2	4,994	43,98	2,644	2,98	3,839	2,777	1,233	1,451	2,664	2,264
2,25	3,112	37,0,03	1,967	2,167	2,018	2,479	1,172	1,234	1,969	2,431
2,5	2,009	30,187	1,621	1,787	1,806	2,121	1,047	1,12	1,046	1,895
2,75	1,747	25,876	1,409	1,587	1,592	1,61	1,033	1,075	1,282	1,579
3	1,5367	23,0,98	1,292	1,345	1,394	1,421	1,026	1,035	1,176	1,329
3,25	1,323	20,566	1,19	1,296	1,329	1,397	1,018	1,023	1,114	1,225
3,5	1,181	19,519	1,117	1,167	1,171	1,147	1,009	1,012	1,076	1,195
3,75	1,138	18,234	1,078	1,087	1,138	1,142	1,004	1,004	1,036	1,131
4	1,095	16,987	1,054	1,074	1,086	1,093	1,002	1,003	1,027	1,088

جدول ۴. مقایسه‌ی متوسط طول دنباله خارج از کنترل نمودارهای تعديل ریسک شده برای مقادیر مختلف نسبت شانس با $ARL_{in} = 50^{\circ}$

$ARL_{in} = 50^{\circ}$										
RAP		RACUSUM		RAEWMA				RADEWMA		
OR	$k=3,9$	$h=2,498$	$\lambda = .1$	$\lambda = .25$	$\lambda = .5$	$\lambda = .75$	$\lambda = .1$	$\lambda = .25$	$\lambda = .5$	
			$k=2,9,5$	$k=2,9,5$	$k=3,2,3$	$k=3,3$	$k=8,4$	$k=5,1$	$k=4,7$	
0.25	51,342	44,986	2,224	4,126	4,512	18,976	1,07	1,235	3,74	17,002
0.5	170,98	176,052	6,873	8,927	24,095	48,831	3,456	4,688	22,74	46,067
0.75	287,877	136,312	25,195	54,213	124,422	152,877	20,54	28,88	58,789	151,654
1	499,761	500,392	499,644	501,007	500,98	499,864	499,66	500,221	499,456	500,642
1.25	67,567	30,6,005	23,813	34,45	56,765	64,154	16,875	22,365	39,758	82,781
1.5	24,873	128,913	6,793	9,188	13,022	23,947	4,932	5,655	13,211	22,187
1.75	8,943	82,207	4,825	5,233	4,005	7,087	1,854	2,957	3,716	5,777
2	5,434	60,928	4,14	4,738	3,839	5,356	1,333	1,571	2,36	4,764
2.25	3,492	47,003	2,234	2,267	2,47	3,479	1,172	1,234	1,769	2,731
2.5	2,209	40,187	1,69	1,986	2,012	2,121	1,107	1,149	1,406	1,895
2.75	1,847	35,876	1,479	1,687	1,792	1,901	1,053	1,079	1,252	1,579
3	1,6287	31,198	1,312	1,445	1,594	1,521	1,021	1,048	1,146	1,329
3.25	1,363	29,566	1,229	1,396	1,329	1,397	1,019	1,028	1,09	1,225
3.5	1,221	26,589	1,147	1,187	1,231	1,297	1,01	1,019	1,046	1,145
3.75	1,168	24,134	1,108	1,147	1,178	1,192	1,003	1,015	1,033	1,091
4	1,115	20,76	1,058	1,094	1,116	1,123	1,005	1,008	1,037	1,106

۶. نتیجه‌گیری

استفاده از روش‌های کنترل فرایند آماری تعديل ریسک شده در پایش پیامدهای جراحی قلب، می‌تواند موجب ارتقای کیفیت این فرایند مهم در بخش سلامت جامعه شود. رویکرد تعديل ریسک، موجب می‌شود که شرایط قبل از عمل جراحی بیماران، در پایش پیامدهای جراحی مورد توجه قرار گیرد. به علاوه، در نمودارهای که برای فرایند جراحی استفاده می‌شود، حساسیت بالا نسبت به تغییرات، از اهمیت بسیار بالایی برخوردار است. این تحقیق به منظور پایش نزخ مرگ و میر بیماران جراحی قلب، نمودار کنترل متحرک وزرون نمایی دوگانه‌ی تعديل ریسک شده را با حساسیت بالا نسبت به تغییرات پیشنهاد داد. تجزیه و تحلیل عملکرد نمودار کنترل تعديل ریسک شده‌ی پیشنهادی، که برای نخستین بار در بخش سلامت استفاده شده است، نشان داد که این نمودار نسبت به دیگر نمودارها از عملکرد بهتری برخوردار است و بیمارستان‌ها می‌توانند از این نمودار برای پایش عملکرد جراحی استفاده کنند.

نسبت به سایر نمودارها حساس‌تر است، در حالتی که $OR > 2$ سه نمودار RAP، RAEWMA، RADEWMA تقریباً از حساسیت یکسانی برخوردارند.

براساس نتاج حاصل شده از جدول ۲ و شکل ۲، در حالتی که $ARL_{in} = 20^{\circ}$ نمودار $OR = 0/25/0$ در $RADEWMA \leq \lambda \leq 0/25/0$ از عملکرد بهتری نسبت به سایر نمودارها برخوردار است و تقریباً در اولین نمونه، علامت مبینی بر خارج از کنترل قرار گرفتن فرایند می‌دهد. اگر $0/75 \leq OR \leq 0/25$ نمودار $RADEWMA \leq \lambda \leq 0/25/0$ از بهترین عملکرد برخوردار است و در زمانی که $OR > 2$ نمودار $RADEWMA$ در کلیه مقادیر λ ، در اولین نمونه، علامت خارج از کنترل بودن فرایند را صادر می‌کند و از دیگر نمودارها حساس‌تر است.

با این توضیحات، می‌توان گفت به طور کلی در میان نمودارهای تعديل ریسک شده، نمودار پیشنهادی RADEWMA در تشخیص تغییرات نسبت شانس مرگ از عملکرد بهتری نسبت به سایر نمودارها برخوردار است.

پانوشت‌ها

1. statistical process control
2. clinical risk index for babies
3. mechanism, glasgow coma scale, age and arterial pressure
4. glasgow coma scale, age and arterial pressure
5. risk adjusted P
6. risk adjusted exponentially weighted moving average
7. risk adjusted cumulative sum
8. risk adjusted double exponentially weighted moving average

(References)

1. Rollo, J. L. and Fauser, B. A. "Computers in total quality management. Statistical process control to expedite stats", *Archives of Pathology & Laboratory Medicine*, **117**(9), pp. 900-905 (1993).
2. Levett, J. M. and Carey, R. G. "Measuring for improvement: from Toyota to thoracic surgery", *The Annals of Thoracic Surgery*, **68**(2), pp. 353-358 (1999).
3. Shaha, S. H. "Acuity systems and control charting", *Quality Management in Health Care*, **3**(3), pp. 22-30 (1995).
4. Stewart, L. J., Greisler, D. and Feldman, K. J. "Measuring primary care practice performance within an integrated delivery system: a case study", *Journal of Healthcare Management*, **47**(4), pp. 250-262 (2002).
5. Morton, A. P., Clements, A. C., Doidge, S. R. and et al. "Surveillance of healthcare-acquired infections in Queensland, Australia: data and lessons from the first 5 years", *Infection Control & Hospital Epidemiology*, **29**(8), pp. 695-701 (2008).
6. Bonetti, P. O., Waeckerlin, A., Schueper, G. and et al. "Improving time-sensitive processes in the intensive care unit: the example of 'doortoneedle time' in acute myocardial infarction", *International Journal for Quality in Health Care*, **12**(4), pp. 311-317 (2000).
7. Atashgar, K. and Alanchari, A. "Improving the quality of surgical and treatment processes using cumulative sum control charts: a comprehensive and applied review", *Iranian journal of surgery*, **25**(1), pp. 100-126 (2017). (In Persian)
8. Woodall, W. H., Adams, B. M. and Benneyan, J. C. "The use of control charts in healthcare Statistical methods in healthcare" In *Statistical Methods in Healthcare*, F.W. Faltin, R.S. Kenett, F. Ruggeri, Ed., 1st Edn. , pp. 251-267, Wiley (2012).
9. Matheny, J. G. "Reducing the risk of human extinction", *Risk Analysis: An International Journal*, **7**(5), pp. 1335-1344 (2007).
10. Axelrod, D. A., Guidinger, M. K., Metzger, R. A. and et al. "Transplant center quality assessment using a continuously updatable, risk-adjusted technique (CUSUM)", *American Journal of Transplantation*, **6**(2), pp. 313-323 (2006).
11. Axelrod, D. A., Kalbfleisch, J. D., Sun, R. J. and et al. "Innovations in the assessment of transplant center performance: implications for quality improvement", *American Journal of Transplantation*, **9**(4pt2), pp. 959-969 (2009).
12. Tang, X. and Gan, F. F. "Risk-adjusted exponentially weighted moving average charting procedure based on multi-responses", In *Frontiers in Statistical Quality Control*, **12**, pp. 113-131 , Springer (2018).
13. Steiner, S. H., Cook, R. J., Farewell, V. T. and et al. "Monitoring surgical performance using risk-adjusted cumulative sum charts", *Biostatistics*, **1**(4), pp. 441-452 (2000).
14. Beiles, C. B. and Morton, A. P. "Cumulative sum control charts for assessing performance in arterial surgery", *ANZ journal of surgery*, **74**(3), pp. 146-151 (2004).
15. Collins, G. S., Jibawi, A. and McCulloch, P. "Control chart methods for monitoring surgical performance: a case study from gastro-oesophageal surgery", *European Journal of Surgical Oncology (EJSO)*, **37**(6), pp. 473-480 (2011).
16. Harris, K. A. "Risk-adjusted analysis of early mortality after ruptured abdominal aortic aneurysm repair", *Journal of vascular surgery*, **42**(3), pp. 387-e1 (2005).
17. Twijnstra, A. R. H., Kolkman, W., Trimbos-Kemper, G. C. M. and et al. "Implementation of advanced laparoscopic surgery in gynecology: national overview of trends", *Journal of Minimally Invasive Gynecology*, **17**(4), pp. 487-492 (2010).
18. Moore, R., Nutley, M., Cina, C. S. abd et al. "Improved survival after introduction of an emergency endovascular therapy protocol for ruptured abdominal aortic aneurysms", *Journal of vascular surgery*, **45**(3), pp. 443-450 (2007).
19. Chen, T. T., Chung, K. P., Hu, F. C., and et al. "The use of statistical process control (risk-adjusted CUSUM, risk-adjusted RSPRT and CRAM with prediction limits) for monitoring the outcomes of out-of-hospital cardiac arrest patients rescued by the EMS system", *Journal of evaluation in clinical practice*, **17**(1), pp. 71-77 (2011).
20. Iezzoni, L. I. (Ed.). "Risk Adjustment for Measuring Healthcare Outcomes", Health Administration Press, pp.1-28, Ann Arbor, Michigan (1994).
21. Alemi, F. and Oliver, D. W. "Tutorial on risk-adjusted P-charts", *Quality Management in Healthcare*, **10**(1), pp.1-9 (2001).
22. Sasikumar, R. and Devi, S. B. "Risk adjusted control chart for monitoring hemoglobinA1C level", *International Journal of Statistics and Systems*, **10**(2), pp. 203-208 (2015).
23. Parsonnet, V., Dean, D. and Bernstein, A. D. "A method of uniform stratification of risk for evaluating the results of surgery in acquired adult heart disease" *Circulation*, **79**(6 Pt 2), pp. I3-12 (1989).
24. Nashef, S. A., Roques, F., Michel, P. and et al. "European system for cardiac operative risk evaluation (Euro SCORE)", *European journal of Cardio-Thoracic Surgery*, **16**(1), pp. 9-13 (1999).
25. Vincent, J. L., Moreno, R., Takala, J. and et al. "The SOFA (Sepsis-related Organ Failure Assessment) score to describe organ dysfunction/failure", *Intensive Care Medicine*, **22**(7), pp. 707-710 (1996).
26. Knaus, W. A., Wagner, D. P., Draper, E. A. and et al. "The APACHE III prognostic system: risk prediction of hospital mortality for critically III hospitalized adults", *Chest*, **100**(6), pp. 1619-1636 (1991).
27. Lago, P., Freato, F., Bettoli, T. and et al. "Is the CRIB score (Clinical Risk Index for Babies) a valid tool in predicting neurodevelopmental outcome in extremely low birth weight infants?", *Neonatology*, **76**(4), pp. 220-227 (1999).
28. Rahmani, F., Bakhtavar, H. E., Vahdati, S. S. and et al. "Evaluation of MGAP and GAP trauma scores to predict Prognosis of multiple-trauma patients", *Trauma Monthly*, **22**(3), e33249(2017).

29. Woodall, W. H., Fogel, S. L. and Steiner, S. H. "The monitoring and improvement of surgical-outcome quality", *Journal of Quality Technology*, **47**(4), pp. 383-399 (2015).
30. Winkel, P., Zhang, N.F. "Statistical process control in clinical medicine", In statistical methods in healthcare, F.W. Faltin, R.S. Kenett, F.Ruggeri, Ed., 1st Edn., pp. 309-331, New York, NY: Wiley (2012).
31. Novick, R. J., Fox, S. A., Stitt, L. W. and et al. "Direct comparison of risk-adjusted and non-risk-adjusted CUSUM analyses of coronary artery bypass surgery outcomes", *The Journal of thoracic and cardiovascular surgery*, **132**(2), pp. 386-391 (2006).
32. k-adjusted-Steiner, S. H., Cook, R. J. and Farewell, V. T. "Ris monitoring of binary surgical outcomes", *Medical Decision Making*, **21**(3), pp.163-169 (2001).
33. Li, J., Jiang, J., Jiang, X. and et al. "Risk-adjusted monitoring of surgical performance", *PloS one*, **13**(8), e0200915 (2018).
34. Grigg, O. and Spiegelhalter, D. "A simple risk-adjusted exponentially weighted moving average", *Journal of the American Statistical Association*, **102**(477), pp. 140-152 (2007).
35. Twijnstra, A. R., Blikkendaal, M. D., Driessen, S.R. and et al. "Tailor-made proficiency curves in laparoscopic hysterectomy: enhancing patient safety using CUSUM analysis", *Gynecological Surgery*, **11**(4), pp. 235-240 (2014).
36. Cook, D. A. "The development of risk adjusted control charts and machine learning models to monitor the mortality rate of intensive care unit patients", PhD Dissertation, University of Queensland, pp.75-113 (2003).
37. Steiner, S. H. and Jones, M. "Risk-adjusted survival time monitoring with an updating exponentially weighted moving average (EWMA) control chart", *Statistics in medicine*, **29**(4), pp. 444-454 (2010).
38. Montgomery, D. C. "Design and analysis of experiments", John wiley & sons (2017).
39. Shamma, S. E. and Shamma, A. K. "Development and evaluation of control charts using double exponentially weighted moving averages", *International Journal of Quality & Reliability Management*, **9**(6), pp.18-25 (1992).
40. Alkahtani, S. S. "Robustness of DEWMA versus EWMA control charts to non-normal processes" *Journal of Modern Applied Statistical Methods*, **12**(1), pp. 18 (2013).
41. Mahmoud, M. A. and Woodall, W. H. "An evaluation of the double exponentially weighted moving average control chart", *Communications in Statistics—Simulation and Computation®*, **39**(5), pp. 933-949 (2010).
42. Rossi, G., Del Sarto, S. and Marchi, M. "A Simple Risk-Adjusted CUSUM chart for monitoring binary health data", In Proceedings of the 46th Scientific Meeting of the Italian Statistical Society, Rome (2012).
43. Flora, R. R. "Focus on moral education: A technique for health educators", *Journal of School Health*, **48**(8), pp. 510-511 (1978).

پیوست‌ها

پیوست ۱: اثبات امید ریاضی و واریانس نمودار RAEWMA با گسترش بسط آماره‌ی $EWMA_j^{Rj}$ ، امید ریاضی آن به صورت زیر محاسبه می‌شود:

$$\begin{aligned} E(EWMA_j^R) &= E(\lambda R_j + (\lambda - \lambda)EWMA_{j-1}^R) \\ &= E(\lambda \sum_{k=1}^j [(\lambda - \lambda)^{j-k} EWMA_k^R] + \\ &\quad (\lambda - \lambda)^j DEWMA_*^R) \\ &= \lambda \sum_{k=1}^j [(\lambda - \lambda)^{j-k} E(EWMA_k^R)] + \\ &\quad (\lambda - \lambda)^j DEWMA_*^R \\ &= \lambda \sum_{k=1}^j [(\lambda - \lambda)^{j-k} EWMA_k^{E(R)}] + \\ &\quad (\lambda - \lambda)^j DEWMA_*^R \\ &= DEWMA_j^{E(R)} \end{aligned}$$

همچنین برای واریانس آماره‌ی DEWMA، با گسترش بسط آماره‌ی DEWMA داریم:

$$\begin{aligned} DEWMA_j^R &= [\lambda^r \sum_{k=1}^j (j - k + 1)(\lambda - \lambda)^{j-k} R_k] + \\ &\quad j\lambda(\lambda - \lambda)^j EWMA_*^R + (\lambda - \lambda)^j DEWMA_*^R \\ &\text{و چون پس: } Var(EWMA_j^R) = \circ \text{ و } Var(DEWMA_*^R) = \circ \\ Var(DEWMA_j^R) &= \lambda^r \sum_{k=1}^j (j - k + 1)^r (\lambda - \lambda)^{r(j-k)} Var(R_k) \end{aligned}$$

$$\begin{aligned} var(EWMA_j^R) &= var(\lambda R_j + (\lambda - \lambda)EWMA_{j-1}^R) \\ &= var(\lambda \sum_{k=1}^j [(\lambda - \lambda)^{j-k} R_k] + (\lambda - \lambda)^j EWMA_*^R) \\ &= \lambda^r \sum_{k=1}^j [(\lambda - \lambda)^{r(j-k)} var R_k] \end{aligned}$$

پیوست ۲: اثبات امید ریاضی و واریانس نمودار RADEWMA

جدول ۱. پیوست ۳: نمرات پارسونت، وضعیت مرگ و میر و احتمال مرگ بیماران تحت عمل جراحی قلب بازدرا ژانویه ۱۹۹۲ در مرکز جراحی انگلستان.

احتمال مرگ π_i	وضعیت مرگ و میر Y_i	نمره پارسونت X_i	ردیف i	احتمال مرگ π_i	وضعیت مرگ و میر Y_i	نمره پارسونت X_i	ردیف i
۰,۰۴۰۰۴۰۵	•	۷	۵۱	۰,۰۹۷۱۷۶۳	•	۱۹	۱
۰,۰۲۹۵۱۲۱	•	۳	۵۲	۰,۰۲۳۴۳۰۷	•	•	۲
۰,۰۲۳۴۳۰۷	•	•	۵۳	۰,۰۲۳۴۳۰۷	•	•	۳
۰,۰۴۰۰۴۰۵	•	۷	۵۴	۰,۰۲۹۵۱۲۱	•	۳	۴
۰,۰۲۷۳۳۱۶	•	۲	۵۵	۰,۰۸۴۱۶۹۴	•	۱۷	۵
۰,۰۵۴۱۱۵۵	•	۱۱	۵۶	۰,۳۶۱۲۳۶۸	•	۴۰	۶
۰,۰۲۷۳۳۱۶	•	۲	۵۷	۰,۰۲۹۵۱۲۱	•	۳	۷
۰,۰۳۴۳۸۹۸	•	۵	۵۸	۰,۰۲۳۴۳۰۷	•	•	۸
۰,۰۲۹۵۱۲۱	•	۳	۵۹	۰,۰۲۷۳۳۱۶	•	۲	۹
۰,۰۴۶۵۷۴۹	•	۹	۶۰	۰,۰۳۴۳۸۹۸	•	۵	۱۰
۰,۰۲۵۳۰۸	•	۱	۶۱	۰,۰۴۶۵۷۴۹	•	۹	۱۱
۰,۰۷۲۷۶۳۱	•	۱۵	۶۲	۰,۲۷۵۸۷۸۷۲	۱	۳۵	۱۲
۰,۰۲۵۳۰۸	•	۱	۶۳	۰,۲۰۴۴۲۰۳	•	۳۰	۱۳
۰,۰۲۳۴۳۰۷	•	•	۶۴	۰,۱۰۴۳۳۱۲	•	۲۰	۱۴
۰,۰۶۲۷۹۶۶	۱	۱۳	۶۵	۰,۰۵۸۳۰۴۶	•	۱۲	۱۵
۰,۱۵۷۶۲۵۹	•	۲۶	۶۶	۰,۰۳۴۳۸۹۸	•	۵	۱۶
۰,۰۳۴۳۸۹۸	•	۵	۶۷	۰,۱۴۷۴۱۷۷	•	۲۵	۱۷
۰,۰۵۴۱۱۵۵	•	۱۱	۶۸	۰,۰۲۹۵۱۲۱	•	۳	۱۸
۰,۰۲۳۴۳۰۷	•	•	۶۹	۰,۰۲۳۴۳۰۷	•	•	۱۹
۰,۰۲۷۳۳۱۶	•	۲	۷۰	۰,۰۲۷۳۳۱۶	•	۲	۲۰
۰,۰۴۳۱۸۹۸	•	۸	۷۱	۰,۰۲۹۵۱۲۱	•	۳	۲۱
۰,۰۲۳۴۳۰۷	•	•	۷۲	۰,۰۳۴۳۸۹۸	•	۵	۲۲
۰,۰۲۳۴۳۰۷	•	•	۷۳	۰,۰۴۰۰۴۰۵	•	۷	۲۳
۰,۰۲۷۳۳۱۶	•	۲	۷۴	۰,۰۳۱۸۶۰۸	•	۴	۲۴
۰,۰۷۸۲۷۶۳	•	۱۶	۷۵	۰,۰۲۳۴۳۰۷	•	•	۲۵
۰,۰۴۳۱۸۹۸	•	۸	۷۶	۰,۰۲۷۳۳۱۶	•	۲	۲۶
۰,۰۴۰۰۴۰۵	•	۷	۷۷	۰,۲۴۵۴۵۵۲	•	۳۳	۲۷
۰,۰۲۹۵۱۲۱	•	۳	۷۸	۰,۰۲۷۳۳۱۶	•	۲	۲۸
۰,۱۳۷۷۶۲۴	•	۲۴	۷۹	۰,۰۴۶۵۷۴۹	•	۹	۲۹

ادامه جدول ۱. پیوست ۳:

۰,۰۳۱۸۶۰۸	•	۴	۸۰	۰,۱۵۷۶۲۵۹	•	۲۶	۳۰
۰,۰۲۷۳۳۱۶	•	۲	۸۱	۰,۰۷۲۷۶۳۱	•	۱۵	۳۱
۰,۰۳۴۳۸۹۸	•	۵	۸۲	۰,۰۲۲۴۴۰۷	•	•	۳۲
۰,۰۳۱۸۶۰۸	•	۴	۸۳	۰,۰۲۷۳۳۱۶	•	۲	۳۳
۰,۰۲۷۳۳۱۶	•	۲	۸۴	۰,۰۳۱۸۶۰۸	•	۴	۳۴
۰,۰۸۴۱۶۹۴	•	۱۷	۸۵	۰,۰۳۷۱۱۱۹	•	۶	۳۵
۰,۰۳۴۳۸۹۸	•	۵	۸۶	۰,۰۹۷۱۷۶۳	•	۱۹	۳۶
۰,۰۵۸۳۰۴۶	۱	۱۲	۸۷	۰,۰۳۱۸۶۰۸	•	۴	۳۷
۰,۰۲۵۳۰۸	•	۱	۸۸	۰,۰۷۲۷۶۳۱	•	۱۵	۳۸
۰,۰۲۳۴۴۳۰۷	•	•	۸۹	۰,۰۹۰۴۶۶۲۶	•	۱۸	۳۹
۰,۰۲۳۴۴۳۰۷	•	•	۹۰	۰,۰۲۷۳۳۱۶	•	۲	۴۰
۰,۰۲۳۴۴۳۰۷	•	•	۹۱	۰,۰۲۹۵۱۲۱	•	۳	۴۱
۰,۰۲۹۵۱۲۱	•	۳	۹۲	۰,۰۴۳۱۸۹۸	•	۸	۴۲
۰,۰۲۹۵۱۲۱	•	۳	۹۳	۰,۰۲۵۳۰۸	•	۱	۴۳
۰,۱۲۰۰۴۵۴	•	۲۲	۹۴	۰,۰۲۹۵۱۲۱	•	۳	۴۴
۰,۰۲۳۴۴۳۰۷	•	•	۹۵	۰,۰۴۶۵۷۴۹	•	۹	۴۵
۰,۰۲۳۴۴۳۰۷	•	•	۹۶	۰,۱۱۱۹۴۷۶	۱	۲۱	۴۶
۰,۰۴۰۰۴۰۵	•	۷	۹۷	۰,۰۶۷۶۰۹۷	•	۱۴	۴۷
۰,۰۲۷۳۳۱۶	•	۲	۹۸	۰,۰۲۹۵۱۲۱	•	۳	۴۸
۰,۰۲۹۵۱۲۱	•	۳	۹۹	۰,۰۲۹۵۱۲۱	•	۳	۴۹
۰,۰۲۹۵۱۲۱	۱	۳	۱۰۰	۰,۰۳۴۳۸۹۸	•	۵	۵۰

جدول ۱. پیوست ۴: آزمون کولوموگراف - اسمیرنوف برای سه نوع دسته‌بندی ماهانه، ۵۰ تابی و ۱۰۰ تابی بیماران.

One – Sample Kolmogorov – Smirnov Test

		Monthly	Fifty	Hundred
Normal Parameters ^{a,b}	Mean	,۰۶۶۹۵۸۲۳	,۰۶۳۶۳۶	,۰۶۳۶۳۶
	Std. Deviation	,۰۳۲۴۴۳۸۵۱	,۰۳۷۶۷۰۰	,۰۲۸۲۰۷۶
Most Extreme Differences	Absolute	,۱۶۶	,۲۲۰	,۲۳۱
	Positive	,۱۶۶	,۲۲۰	,۲۳۱
	Negative	-,۱۱۱	-,۱۲۹	-,۱۱۷
kolmogorov-Smirnov Z		,۸۱۴	,۱,۴۶۱	,۱,۰۸۴
Asymp. Sig. (۲-tailed)		,۰۵۲۲	,۰۲۸	,۱۹۱

جدول ۱. پیوست ۵: آزمون اومنیوس مدل رگرسیون لجستیک.

		Chi - square	Df	Sig.
Step ۱	Step	۱۵۸/۷۸۶	۱	.۰۰۰
	Block	۱۵۸/۷۸۶	۱	.۰۰۰
	Model	۱۵۸/۷۸۶	۱	.۰۰۰

جدول ۲. پیوست ۵: جدول ضرایب مدل رگرسیون لجستیک.

	B	S.E.	Wald	Df	Sig.	Exp(B)
parsonnet	.۰۰۷۹	.۰۴۶	۹/۶۸۰	۱	.۰۰۲	۱/۱۵۲
Step ۱ ^a						
Constant	-۳/۷۳	.۷۳۷	۳۱/۴۶۶	۱	.۰۰۰	.۰۶

^a Variable(s) entered on step ۱ : parsonnet.

$$\begin{aligned}
 E(DEWMA_j^R) &= DEWMA_j^{E(R)} \\
 DEWMA_j^{E(R)} &= .۱ * .۰۵۳۹۰ ۲۵۲۹۰۷ + .۹ * .۰۰۶۴ \\
 DEWMA_j^{E(R)} &= .۰۶۲۹۹۰ ۲۵۲۹۰۷ \\
 DEWMA_j^{E(R)} &= .۱ * .۰۰۶۲۹۹۰ ۲۵۲۹۰۷ + .۹ * .۰۰۶۴ \\
 DEWMA_j^{E(R)} &= .۰۶۳۸۹۹۰ ۲۵۲۹۰۷
 \end{aligned}$$

پیوست ۳: نحوه محاسبه‌ی نمودار RADEWMA برای یک گروه از بیماران جدول ۱. پیوست ۳ نمرات پارسونت گروه ۱۰۰ تابی از بیماران تحت عمل جراحی قلب باز و وضعیت مرگ و میر آنها ۳۰ روز پس از عمل جراحی را به صورت، ۱: مرگ و ۰: زنده ماندن در ژانویه‌ی ۱۹۹۲ در مرکز جراحی انگلستان نشان می‌دهد. احتمال مرگ با استفاده از فرمول ۲۱ در بخش چهارم، محاسبه شده است.

$$\begin{aligned}
 Var(DEWMA_1^R) &= \lambda^k \sum_{k=1}^j (j-k+1)^k (1-\lambda)^{k(j-k)} Var(R_k) \\
 &= ۴,۷۹۶۷۱۵ * ۱۰^{-۶}
 \end{aligned}$$

برای این گروه از بیماران نزخ مرگ و میر و امید ریاضی نزخ مرگ و میر به صورت زیر محاسبه می‌شود:

$$\begin{aligned}
 R_1 &= \sum_{i=1}^{100} \frac{Y_i}{n} = \frac{۵}{100} = .۰۵ \\
 E(R_1) &= \sum_{i=1}^{100} \frac{\pi_i}{n} = \frac{۰,۳۹۰ ۲۵۲۹۰۷}{100} = .۰۵۳۹۰ ۲۵۲۹۰۷
 \end{aligned}$$

این گروه از بیماران، اولین نمونه درپایش نزخ مرگ و میر است، بنابراین آماره‌ی نمودار DEWMA بر اساس رابطه‌ی ۱۷ و با فرض $EWMA * R_0 = ۰/۰۶۴$ و $\lambda = .۱$, $DEWMA_1^R = \bar{P} = ۰/۰۶۴$ به صورت زیر محاسبه می‌شود:

$$\begin{aligned}
 EWMA_1^R &= \lambda R_1 + (1-\lambda) DEWMA_0^R \\
 DEWMA_1^R &= \lambda EWMA_0^R + (1-\lambda) DEWMA_0^R \\
 EWMA_1^R &= .۱ * .۰۵ + .۹ * .۰۰۶۴ \Rightarrow \\
 EWMA_1^R &= .۰۶۲۶ \\
 DEWMA_1^R &= .۱ * .۰۰۶۲۶ + .۹ * .۰۰۶۴ \Rightarrow \\
 DEWMA_1^R &= .۰۶۳۸۶
 \end{aligned}$$

بنابراین برای گروه بیماران، $DEWMA_1^R = .۰۶۳۸۶$ است. $ARL_{in} = ۲۰۰$ و $\lambda = .۱$ با فرض $k=6$ امده در بخش پنجم، پارامتر نمودار کنترل است. در این صورت با به کارگیری فرمول ۲۰، برای محاسبه‌ی حدود کنترل داریم:

$$Var(R_1) = \sum_{i=1}^{100} \frac{\pi_i(1-\pi_i)}{n^k} = .۰۴۷۹۶۷۱۴۵۶۷$$

چون $LCL_1 < DEWMA_1^R < UCL_1$, برای این گروه از بیماران فرایند تحت کنترل است.

پیوست ۴: گزارش نرم افزار SPSS مبنی بر نرمال بودن داده‌ها

در این گزارش برای سه نوع دسته‌بندی داده‌ها به صورت ماهانه، ۵۰ تابی و ۱۰۰ تابی، آزمون کولوموگراف - اسپیرنوف انجام شده است. این آزمون در سطح خطای بیش از ۵٪ معنادار است. در جدول ۱. پیوست ۴، مشاهده می‌شود که در میان این سه نوع دسته‌بندی، دسته‌بندی ماهانه و ۱۰۰ تابی، سطح معناداری آزمون به ترتیب ۵۲۲ و ۰/۰۱۱ است که نشان می‌دهد دسته‌بندی ماهانه و ۱۰۰ تابی داده‌ها به صورت معناداری از توزیع نرمال پیروی می‌کنند. اما به دلیل آنکه تعداد بیماران در هر ماه متفاوت است، دسته‌بندی ماهانه باعث پیچیدگی در حل مسئله می‌شود و دسته‌بندی ۱۰۰ تابی برای تجزیه و تحلیل نمودارها استفاده می‌شود.

پیوست ۵: گزارش پرآورده پارسونت هر بیمار با رگرسیون لجستیک داده‌ها با نرم افزار SPSS در رگرسیون لجستیک، نمره‌ی پارسونت هر بیمار با به صورت متغیر مستقل در نظر گرفته شده است. متغیر وابسته احتمال مرگ هر بیمار با توجه به نمره‌ی پارسونت آن است. ارزیابی کل مدل با آزمون اومنیوس، در جدول ۱. پیوست ۵ نشان داده می‌شود. این آزمون به بررسی این موضوع می‌پردازد که مدل (نقش نمره‌ی پارسونت در

طبقه‌بندی وضعیت مرگ و زندگی بیماران) تا چه اندازه قدرت تبیین و کارایی دارد. با توجه به سطح معنی‌داری مدل، برآش مدل قابل قبول است و در سطح خطای کمتر از ۵٪ معنی‌دار است.

جدول ۲. پیوست ۵، ضرایب مدل رگرسیون لجستیک است که مهم‌ترین جدول نمره‌ی پارسونت و مقدار ثابت، مدل به صورت $\log it(\pi_t) = \beta_0 + \beta_1 X_t - \beta_2 \pi_t$ احتمال مرگ بیمار است.